



บทความ
Original Article

การหาพันธะคู่ระหว่างคาร์บอนชนิดอะลิฟาติก
บนพื้นผิวของเดียวพื้นคอมโพสิตเสริมเส้นใย
ด้วยวิธีไมโครເອທິອນ-ເອຟີໂອອາຣໍສປເກໂຕຣສໂຄປ

ศิริพร อรุณประดิษฐ์กุล ท.บ., วท.ม.¹

สุนิสา ทิพย์มณฑา²

ສາເພື່ອ ກະບປອດຮວດວິຊາ²

¹ ภาควิชาทันตกรรมประดิษฐ์ คณะทันตแพทยศาสตร์ จุฬาลงกรณ์มหาวิทยาลัย

² นิสิตปริญนานักศึกษาคณะทันตแพทยศาสตร์ จพ.ลงกรุณามหาวิทยาลัย

หน้าที่

วัตถุประสงค์ เพื่อหาพันธุ์คู่ระหว่างคาร์บอนนิดอะลิฟาติกบันพื้นผิวของเดือยฟันคอมโพสิตเสริมเส้นใยด้วยวิธีเมทโคลอิโคอาร์-เอฟทีไออาร์สเปคโครงสร้าง

วัสดุและวิธีการ ทดสอบหินตะคูระหว่างการบอนชันด้วยลิฟาร์ติกบันพื้นผิวของเดียวกับสเปคโครงปูแบบไมโครเมตร์ที่อาร์-เอฟทีโออาร์โดยใช้อินฟราเรดช่วงกลาง 4000–600 เซนติเมตร⁻¹ พื้นที่สัมผัสของผลึกเจอร์ไนย์มกับเดียวกับสีเงินเดียวกับสีเงินของหินตะคูที่ต้องการ 100 ไมโครเมตร ความลึกของอินฟราเรดที่ส่องผ่านพื้นผิวเดียวกับสีเงิน ไมโครเมตร บันทึกผลเป็นกราฟระหว่างค่าเลขคลื่น และการส่องผ่านของรังสีวิเคราะห์หินตะคูระหว่างการบอนชันด้วยลิฟาร์ติกจากแบบสเปคตั้มเทียบกับค่าเลขคลื่นอ้างอิง

ผลการศึกษา พื้นผิวของเดือยพันเนคฟาร์ซีไฟส์เทคโนโลยี แสดงให้เห็นว่ามีความต้านทานต่อการขัดขีดอย่างมาก แต่เมื่อทดสอบในสภาวะที่มีความชื้นสูง เช่น ห้องน้ำ พบว่าประสิทธิภาพลดลงอย่างมาก เมื่อเทียบกับเดือยพันเนคฟาร์ซีไฟส์เทคโนโลยีทั่วไป

สรุป เดือยพันเนอฟาร์ซิโพสเทคโนโลยี และไฟบริเคลลิร์เทเบอร์โพสท์มีพันธุ์คู่ระหว่างการบอนชันดีอะลิฟากติก บนพื้นผิวของเดือยพัน

(ว ทันต จุฬาฯ 2558;38:129-140)

คำสำคัญ: เดือยพันโนริมเล่นนี้; พันธุ์คู่ระหว่างการบอนชันนิดอะลิฟิติค; พินผิว; ไมโครเอทีอาร์-เอฟทีไอการ์; สเปคโทรศัพท์

บทนำ

ปัจจุบันนิยมบูรณะฟันที่ได้รับการรักษาคลองรากฟันด้วยเดียวฟันคอมโพสิตเสริมเส้นใย เช่น เส้นไนแก้ว หรือคิวอตซ์ เนื่องจากให้ความสวยงาม มีศักลัยกับฟัน มีค่ามอดุลส์ความยืดหยุ่นใกล้เคียงกับเนื้อฟันมากกว่าเดียวฟันโลหะ ทำให้เกิดการกระหายแรงไปทั่วรากฟันได้ดี ลดโอกาสการเกิดรากฟันแตก และมีโอกาสเกิดความล้มเหลวนิดที่บูรณะได้มากกว่าการบูรณะด้วยเดียวฟันโลหะหลัง² สามารถรื้อออกได้ง่ายกว่าเดียวฟันโลหะและเดียวฟันเซรามิก จึงลดโอกาสการสูญเสียเนื้อฟันขณะกรอว์เดียวฟันความสำเร็จของการบูรณะฟันที่ได้รับการรักษาคลองรากฟันด้วยเดียวฟันคอมโพสิตเสริมเส้นใย คือ การที่เดียวฟันคอมโพสิตเสริมเส้นใย แกนฟัน และผนังคลองรากฟันมีการยึดติดเป็นหนึ่งเดียวกันเป็นโมโนบล็อก (monobloc)³ อย่างไรก็ตามยังคงพบความล้มเหลวของการบูรณะฟันที่รักษาคลองรากฟันแล้วด้วยเดียวฟันคอมโพสิตเสริมเส้นใยจากปัญหาการยึดติดระหว่างเดียวฟันกับเรซินซีเมนต์หรือแกนฟันเรซินคอมโพสิต⁴⁻⁶ เนื่องจากเรซินเมทริกซ์ของเดียวฟัน เช่น อี-พอยซ์เรซิน (epoxy resin)⁷ หรือเมทาคริเลตเรซิน (methacrylate resin)⁸ มีอัตราการเกิดพลอลิเมอร์สูง (high degree of conversion) มีอัตราการเชื่อมแน่นระหว่างโมเลกุลสูง (high crosslink) ทำให้มีพันธุ์คู่ระหว่างคาร์บอนชนิดอะลิฟติก (aliphatic C=C bond) เหลือที่จะปฏิกิริยาเคมีกับเมทาคริเลตที่เป็นส่วนประกอบในเรซินคอมโพสิตและเรซินซีเมนต์⁷⁻⁹ เนื่องจากการขึ้นรูปเดียวฟันภายใต้ความร้อนและสูญญากาศ ทำให้ไม่มีชั้นอนกซีเจน อินไซบิชั่น (O_2 inhibition layer)¹⁰ ลดคล่องกับหล่ายการศึกษาซึ่งพบว่าเดียวฟันยึดห้อเอฟาร์ซีโพสเทคพลัส (FRC Postec Plus[®])¹¹⁻¹³ และยึดห้อดีทีไลท์โพสท์ (D.T. Light-Post[®])¹⁴ ที่ไม่ปรับสภาพพื้นผิวเดียวฟันให้ค่าแรงการยึดติดกับแกนฟันเรซินคอมโพสิตน้อยกว่าเดียวฟันที่ปรับสภาพพื้นผิวของเดียวฟันก่อนการยึด จึงมีการศึกษาหาวิธีปรับสภาพพื้นผิวของเดียวฟันด้วยสารเคมีเพื่อให้มีการละลายเรซินเมทริกซ์ออกบางส่วน ทำให้ผิวเดียวฟันชุ่วชื้นเพิ่มการยึดติดทางกล และเผยแพร่ถึงชั้นเส้นใยแก้วหรือเส้นใยคิวอตซ์ซึ่งมีหมุนซิลิคอนไดօකไซด์เป็นส่วนประกอบ ส่งผลให้สามารถใช้สารไซเลนท์ที่เดียวฟันหลังผ่านการปรับสภาพผิวโดยหมุนไซเลนออนไลน์ไซเลนจับกับซิลิคอนไดօกไซด์ของเดียว

ฟันเกิดเป็นพันธุ์ไซเลนเพื่อเพิ่มการยึดติดทางเคมี¹⁵⁻¹⁷ อย่างไรก็ตามการศึกษาของ Nagas และคณะ ปี 2011¹⁴ พบว่าการไม่ปรับสภาพพื้นผิวเดียวฟันยึดห้อเอฟาร์ซีโพสเทคพลัสให้ค่าแรงการยึดติดระหว่างเดียวฟันกับแกนฟันเรซินคอมโพสิตไม่ต่างกับการปรับสภาพผิวเดียวฟัน และเนื่องจากในกระบวนการผลิตเดียวฟันเส้นใยไอลามิเนตเรซินเมทริกซ์¹⁸⁻¹⁹ ดังนั้นพื้นผิวเดียวฟันเสริมเส้นใยไอลามิเนตเรซินจะมีคุณสมบัติที่มาจากการหมุนฟังก์ชันอินทรีฟ์ (organic functional group) ของไซเลนอยู่

การตรวจหาพันธุ์คู่ระหว่างคาร์บอนชนิดอะลิฟติกในเมทาคริเลตพอลิเมอร์ที่ใช้ในทางทันตกรรมมีหลายวิธี ได้แก่ อินฟราเรดสเปคโตรสโคปี รามานสเปคโตรสโคปี (Raman-spectroscopy) เอ็นเอ็มอาร์สเปคโตรสโคปี (NMR: nuclear magnetic resonance) เป็นต้น²⁰ วิธีรามานสเปคโตรสโคปี อาศัยหลักการกระเจิงของรังสี สามารถใช้สารตัวอย่างรูปทรงหรือขนาดใดๆ ก็ได้ ใช้วัดสารตัวอย่างที่มีความเข้มข้นหรือปริมาณน้อยได้ ใช้วิเคราะห์สารตัวอย่างที่ละลายในน้ำได้ เนื่องจากโมเลกุลน้ำซึ่งมีสภาพเข้าสูงจะไม่เกิดสัญญาณรบกวนสเปคตัมรามาน²¹ แต่สัญญาณไม่ค่อยชัดเจน โอกาสเกิดสัญญาณรบกวนสูง ต้องใช้เวลาวิเคราะห์นาน และควรจะวิเคราะห์ซ้ำเสมอ²² ส่วนวิธีเอ็นเอ็มอาร์สเปคโตรสโคปีต้องเตรียมสารตัวอย่างในรูปของสารละลายเจือจางทำให้ไม่สามารถวิเคราะห์หมุนฟังก์ชันทรีฟ์ที่ต้องการบริเวณพื้นผิวได้

วิธีอินฟราเรดสเปคโตรสโคปีแบบเอทีเออร์-เอฟทีไอเออร์ (ATR-FTIR spectroscopy: Attenuated Total Reflectance-Fourier transform infrared spectroscopy) อาศัยหลักการคือ การที่สารจะถูกดักลิ้งรังสีอินฟราเรดที่ความถี่ใดนั้น ความถี่ที่ถูกดักลิ้งจะต้องตรงกับความถี่ของการสั่นของพันธุ์เห่านั้น จึงสามารถใช้ตรวจหาพันธุ์ที่สนใจเชิงคุณภาพในโมเลกุลของสารที่ต้องการศึกษาได้ วิธีการนี้ไม่ต้องเตรียมชั้นงานตัวอย่างซึ่งจะเป็นการทำลายลักษณะพื้นผิวของชั้นงานที่ต้องการศึกษา²³ ใช้เวลาไม่ถูกกว่าการใช้เครื่องมือแบบดั้งเดิม ได้สัญญาณที่ชัดเจนความถี่ที่ถูกต้องแม่นยำ²⁴⁻²⁵ แต่วิธีอินฟราเรดสเปคโตรสโคปีแบบไมโครเอทีเออร์-เอฟทีไอเออร์ เป็นเทคนิคหนึ่งของอินฟราเรดสเปคโตรสโคปีแบบเอทีเออร์เอฟทีไอเออร์โดยการจัดวางตำแหน่งกระจากให้เกิดการ

สะท้อนและชนิดของผลึกที่ต่างกัน ให้ความละเอียดสูงกว่าแบบเอทีอาร์-เอฟทีไอօอาร์ธรรมดาซึ่งจะใช้ในกรณีที่ต้องการขอบเขตการมองเห็น (field of view) กว้าง²⁶ วิธีอินฟราเรดสเปคโตรสโคปแบบไมโครเอทีอาร์-เอฟทีไอօาร์จะหมายกับการศึกษาชิ้นเดียวพื้นขนาดเล็กนี้โดยแทนสเปกตัมแสดงพันธุ์คู่ระหว่างคาร์บอนชนิดอะลิฟิติกของหมุ่เมทาคริเลตจะอยู่ในช่วงความถี่ 1640-1630 เซนติเมตร^{-1,27-29} จากปริทัศน์วรรณกรรมที่ผ่านมา�ังไม่มีการศึกษาหาพันธุ์คู่ระหว่างคาร์บอนชนิดอะลิฟิติกบนเดียวพื้นชนิดเดียวพื้นผิวของเดียวพื้นชนิดต่างๆ ที่อาจหลงเหลือบนพื้นผิวของเดียวพื้น

การศึกษานี้จึงมุ่งตรวจหาพันธุ์คู่ระหว่างคาร์บอนชนิดอะลิฟิติกบนพื้นผิวของเดียวพื้นคอมโพสิตเสริมเด่นในด้วยสเปคโตรสโคปแบบไมโครเอทีอาร์-เอฟทีไอօาร์

วัสดุและวิธีการ

นำเดียวพื้นคอมโพสิตเสริมเด่นใน 4 ยีห้อซึ่งมีรูปร่างขนาดที่ส่วนต้นและทรงสอบที่ปลายเดียวพื้น ยีห้อละ 2 แท่งซึ่งมีส่วนประกอบขนาดและรูปร่างดังตารางที่ 1 นำไปทดสอบด้วยเครื่องสเปคโตรสโคปแบบไมโครเอทีอาร์-เอฟทีไอօาร์ที่ตำแหน่งห่างจากปลายทั้งสองข้างของเดียวพื้น 4 มิลลิเมตรแท่งละ 2 ตำแหน่งดังรูปที่ 1

วางแผนเดียวพื้นบริเวณที่ต้องการทดสอบหาพันธุ์คู่ระหว่างคาร์บอนชนิดอะลิฟิติกในหมุ่เมทาคริเลตบนแท่นวางชิ้นทดสอบ การทดสอบด้วยวิธีสเปคโตรสโคปชนิดไมโครเอทีอาร์-เอฟทีไอօาร์ในการศึกษานี้ใช้เครื่องสเปคโตรมิเตอร์ยีห้อเพอร์คิน เอลเมอร์ รุ่น สเปกตัม สปอร์ตไลท์ 300 (Spectrum Spotlight 300, Perkin Elmer, USA) เทคนิคไมโคร-

ตารางที่ 1 เดียวพื้นคอมโพสิตเสริมเด่นในในการศึกษานี้

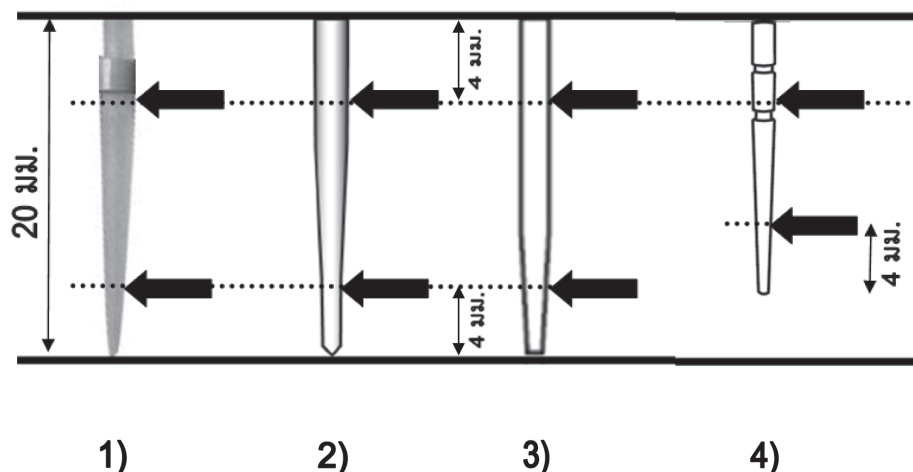
Table 1 Fiber reinforced composite posts in this study

Brand	Length (mm)	Diameter coronal/apical (mm)	Composition	Manufacturer/Lot no
RelyX TM Fiber Post no. 3	20	1.9/0.9	epoxy resin glass fiber zirconia filler	3M ESPE, St. Paul, USA/Lot no. 191271205
D.T. Light Post [®] no. 2	20	1.8/1	epoxy resin quartz fiber	RTD, St. Egrevie, France/Lot no. 125301001
FRC Postec Plus [®] no. 3	20	2/1	UDMA TEGDMA glass fiber Ytterbium trifluoride	IvoclarVivadent, Schaan, Liechtenstein Lot no. #572800AN
FibreKleer [®] Tapered Post 1.5 mm	16	1.5/0.9	Bis-GMA glass fiber	Pentron Clinical, Wallingford, USA Lot no. 4867299

UDMA: urethane dimethacrylate

TEGDMA: triethylene glycol dimethacrylate

Bis-GMA: dimethacrylate 2,2-bis[4-(2-hydroxy-3-methacryloxypropoxy) phenyl] propane



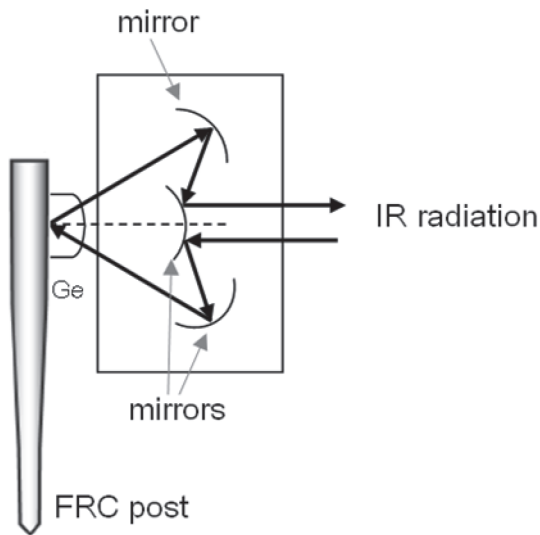
รูปที่ 1 ตำแหน่งที่ทำการทดสอบของเดือยฟัน; 1) รีลีเอ็กซ์ไฟเบอร์โพสท์ 2) ดีทีไลท์โพสท์ 3) เอฟอาร์ซีโพสเทคพลัส 4) ไฟบริเคลียร์เทเปอร์โพสท์

Fig. 1 Experimental areas of post; 1) RelyXTM Fiber Post 2) D.T. Light-Post[®] 3) FRC Postec Plus[®] 4) FibreKleer[®] Tapered Post

แอพเทนนูเอตเต็ด ไททอล รีเฟลกแทนซ์ (Micro-Attenuated Total Reflectance: Micro-ATR) (อ้างอิงตามมาตรฐาน ASTM: E334-01 standard practice for general techniques of infrared microanalysis และ ASTM E573-01 standard practices for Internal reflection spectroscopy) กำหนดให้รังสีผ่านผลึกเจอร์เมเนียมดังรูปที่ 2 ใช้แหล่งกำเนิดแสงอินฟราเรดช่วงกลาง (4000–600 เซนติเมตร⁻¹) ความละเอียด 4 เซนติเมตร⁻¹ ตัวตรวจนับสัญญาณคือ เมอร์คิวรี่-แคนเดเมียม-เทลลูริด (mercury-cadmium-telluride: MCT) พื้นที่สัมผัสดวงผลึกกับชิ้นงานตัวอย่างมีรูปร่างเป็นวงกลมขนาดเส้นผ่านศูนย์กลาง 100 ไมโครเมตร กำหนดให้รังสีทะลุผ่านไม่เกิน 1 ไมโครเมตร จากผิวของชิ้นงานบันทึกข้อมูลแบบスペกตรัมของเดือยฟันบริเวณที่ทดสอบเป็นกราฟระหว่างเลขคลื่น (wavenumber) หรือความถี่ หน่วยเป็นเซนติเมตร⁻¹ และค่าการส่งผ่านของรังสี (transmittance) หน่วยเป็นร้อยละ ซึ่งหมายถึงอัตราส่วนระหว่างความเข้มของรังสีที่ผ่านเดือยฟันและความเข้มของรังสีที่ตกกระทบเดือยฟันจากนั้นวิเคราะห์หาพันธุ์คุณระหว่างโครงสร้างของฟันและพันธุ์อื่นที่อาจส่งผลต่อการยึดเดือยฟันกับสารเรซินจากแบบสเปกตรัมที่เกิดขึ้นในช่วงความถี่ค่าต่างๆ เทียบกับค่าเลขคลื่น อ้างอิงของค่าการส่งผ่านของรังสีอินฟราเรดของพันธุ์ต่างๆ

ผลการศึกษา

การทดสอบหาพันธุ์คุณระหว่างโครงสร้างของลิฟิติกในหมู่เมทาคริเลทบันพื้นผิวของเดือยฟันคอมโพสิตเสริมเส้นใยด้วยสเปกตรอสโคปแบบไมโครเรทิอาร์-เอฟทีเออาร์ โดยใช้รังสีอินฟราเรดช่วงกลาง (4000–600 เซนติเมตร⁻¹) ดังรูปที่ 3-4 และตารางที่ 2 พบว่าสเปกตรัมของเดือยฟันคอมโพสิตเสริมเส้นใยส่วนต้นและส่วนปลายของเดือยฟันแต่ละชิ้นห้อไม่มีความแตกต่างกัน ตรวจพบແບพที่มีความเข้มต่างๆ เลขคุลีนระหว่าง 1638–1636 และ 1637–1632 เซนติเมตร⁻¹ ของเดือยฟันยี่ห้อเอฟอาร์ซีโพสเทคพลัสและไฟบริเคลียร์เทเปอร์โพสท์ ตามลำดับ ในขณะที่เดือยฟันยี่ห้อรีลีเอ็กซ์ไฟเบอร์โพสท์และดีทีไลท์โพสท์ ไม่พบແບพสเปกตรัมที่บริเวณดังกล่าวแต่พบบางแห่งอีพอกไซด์ (epoxide ring) เดือยทั้ง 4 ยี่ห้อพบหมู่ไซลิโอลีเทอร์ (Si-O-R : silyl ether) หมู่ไซโลออกซาน (Si-O-Si : siloxane) หมู่ไซลานอล (Si-OH : silanol) หมู่ไฮดรอกซิล (OH : hydroxyl) และหมู่เอมีน (NH : amine) นอกจากนี้ยังพบหมู่เอมีนที่พื้นผิวเดือยฟันทุกยี่ห้อ ยกเว้นเดือยฟันยี่ห้อไฟบริเคลียร์-เทเปอร์โพสท์



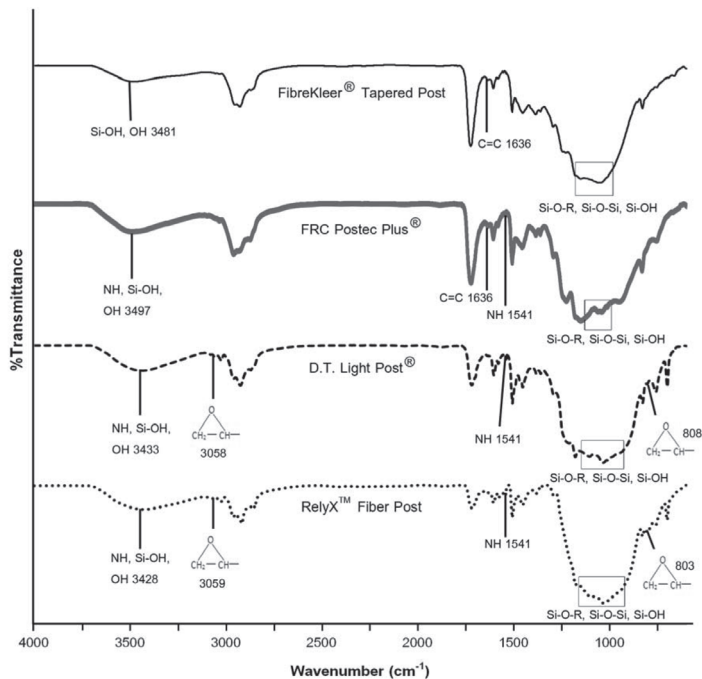
รูปที่ 2 การทดสอบสเปกตรอสโคปีชนิดไมโครเอฟทีอาร์-เอฟทีอาร์โดยใช้พลิกเจอร์เมเนียม

Fig. 2 Micro ATR-FTIR spectroscopy using germanium crystal

วิจารณ์

การศึกษานี้เป็นการหาพันธุ์คู่ระหว่างคาร์บอนชนิดอะลิฟติกในเดียวพันที่มีข่ายในประเทศไทยที่มีรูปทรงสอบขนาดเส้นผ่านศูนย์กลางใกล้เคียงกัน มีองค์ประกอบของเรซินเมทริกซ์ที่แตกต่างกันได้แก่ อิพอกซีเรซิน และเมทاكวิเลตเรซิน เช่น บีสีจีเอ็มเอและยูดีเอ็มเอ บริเวณที่ทดสอบ ได้แก่ ส่วนตันและส่วนปลายของเดียวพันที่มีผิวเรียบ เพื่อให้พื้นผิวของเดียวพันแบบกับพลิกเจอร์เมเนียมของเครื่องมือที่ใช้ทดสอบมากที่สุด พบว่าสเปกตรัมของเดียวพันคอมโพสิตเสริมเส้นใยส่วนตันและส่วนปลายของเดียวพันแต่ละยี่ห้อ ไม่มีความแตกต่างกัน โดยทราบพันธุ์คู่ระหว่างคาร์บอนชนิดอะลิฟติกที่พื้นผิวของเดียวพันยี่ห้อเอฟอาร์ซีโพสเทคพลัสและไฟบริเคลียร์ทีเบอร์โพสท์ อาจเนื่องจากการเกิดปฏิกิริยาการเกิดพอลิเมอร์ที่ไม่สมบูรณ์ของส่วนเรซินเมทริกซ์ของเดียวพันทั้งสองชนิดได้แก่ ไดเมทاكวิเลตเรซินและบีสีจีเอ็มเอตามลำดับซึ่งไดเมทاكวิเลตเรซินและบีสีจีเอ็มเอเป็นอนุพันธุ์ของหมูเมทاكวิเลต ทำให้หลังเหลือพันธุ์คู่ระหว่างคาร์บอนชนิดอะลิฟติกที่พื้นผิวของเดียวพัน กระบวนการผลิตเดียวพันจะผลิตภายใต้ภาวะความร้อนและสูญญากาศ ซึ่งเป็นปัจจัยสำคัญที่ทำให้มีอัตราการเกิดพอลิเมอร์สูงทำให้มีรีชั่นออกซิเจนอินอิบิชั่น และไม่เหลืออนุนุ่มลื่นกระแทกที่จะทำปฏิกิริยาต่อ กับสารเรซินในแกนพันเรซินคอมโพสิตและเรซินซีเมนต์¹⁰

ดังนั้นจึงไม่เกิดการเชื่อมต่อทางเคมีกับเมทاكวิเลตเรซินในเรซินซีเมนต์^{15,30} อย่างไรก็ตาม Du และคณะ ปี 2008²⁹ พบว่าอุณหภูมิในการบ่มตัวที่สูงและเวลาในการบ่มตัวที่มากทำให้มีอัตราการเกิดพอลิเมอร์ชนิดยูรีเทนไดเมทاكวิเลตสูงขึ้นโดยเฉพาะระยะแรกของการบ่มตัว เพราะอุณหภูมิที่สูงทำให้ไม่ในเมอร์มีพลังงานในการเคลื่อนที่ไปทำปฏิกิริยามากต่อมาอัตราการเกิดพอลิเมอร์จะช้าลงเนื่องจากเกิดเป็นพอลิเมอร์ซึ่งมีการเชื่อมของวงมากขึ้นจนอยู่ในภาวะเจล ทำให้ไม่ในเมอร์ที่ยังไม่เกิดปฏิกิริยาเคลื่อนได้น้อยลง และหลังเหลือเป็นไม่ในเมอร์อิสระ (free monomer) หรือกลุ่มของไม่ในเมอร์ขนาดเล็กตกค้างในพอลิเมอร์ โดยพบว่าอุณหภูมิที่สูงถึง 140 องศาเซลเซียสและเวลาในการบ่มตัวที่มากถึง 3 ชั่วโมงทำให้เกิดอัตราการเกิดพอลิเมอร์เพียงร้อยละ 85 ลดคล่องกับ Kumbuloglu และคณะ ปี 2004³¹ ซึ่งพบว่าเรซินซีเมนต์ที่มีส่วนประกอบเป็น บีสีจีเอ็มเอร่วมกับทีอีจีดีเอ็มเอ มีอัตราการเกิดพอลิเมอร์ร้อยละ 81 เท่านั้น พันธุ์คู่ระหว่างคาร์บอนชนิดอะลิฟติกที่พับบนเดียวพันที่มีเรซินเมทริกซ์เป็นเมทاكวิเลตสามารถเกิดปฏิกิริยากับอนุนุ่มลื่นกระแทกของเรซินซีเมนต์หรือแกนพันเรซินคอมโพสิตซึ่งมีส่วนประกอบเป็นเมทاكวิเลตคล้ายกัน³² ลดคล่องกับการศึกษาของ Nagas และคณะปี 2011³³ และ Yavirach และคณะปี 2009³² ซึ่งพบว่าการไม่ปรับสภาพพื้นผิวของเดียวพันเอฟอาร์ซีโพสเทคพลัสให้ค่าแรงการยึดติดกับแกนพันเรซินคอมโพสิตไม่ต่างจากการปรับ



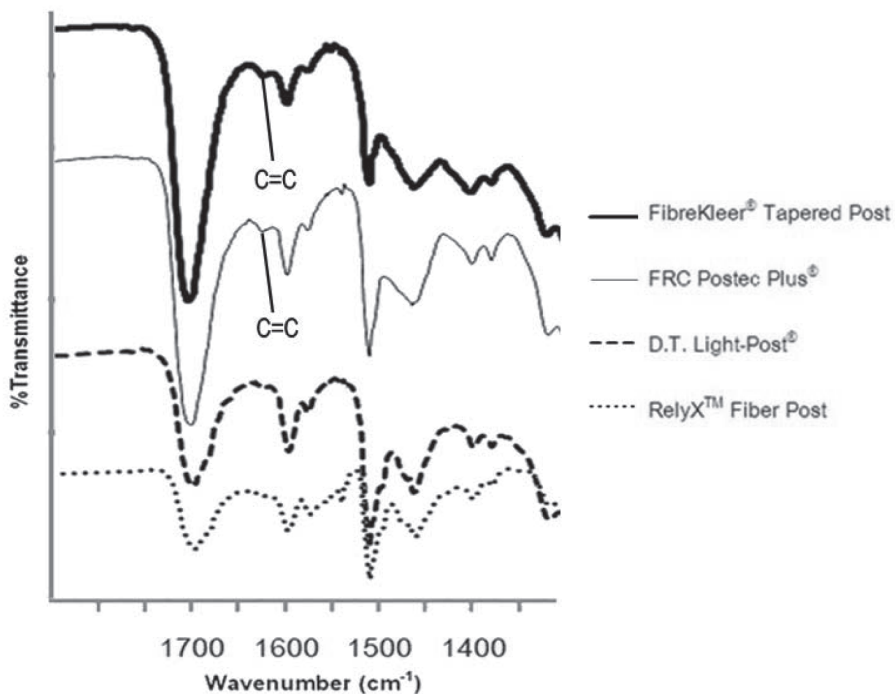
รูปที่ 3 สเปคตั้มของหมู่ฟังก์ชันต่างๆ บนพื้นผิวเดือยฟันเสริมเส้นไนโตรในการศึกษา

Fig. 3 Spectrum of functional groups on fiber post surface in this study

สภาพพื้นผิวของเดียร์อีพีฟันด้วยการเป่าทรายหรือการแขวนในกรดกัดแก้ว แต่การปรับสภาพพื้นผิวเดียร์อีพีฟันที่ไลท์โพลีสท์ให้ค่าแรงการยึดติดมากกว่าการไม่ปรับสภาพ⁷ จากการศึกษาของ Yavirach และคณะปี 2009³² และ Rödig และคณะปี 2010³³ พพบว่าเดียร์อีพันที่มีเรซินเมทริกซ์เป็นชนิดเมทاكրิเลตให้ความแข็งแรงยึดติดกับเรซินชีเมนต์หรือเก็นฟันเรซินคอมโพสิตมากกว่าเดียร์อีพันที่มีเรซินเมทริกซ์เป็นชนิดอีพอกาซีเรซิน และการใช้ไซเลนท์ที่เดียร์อีพันที่มีเรซินเมทริกซ์เป็นชนิดเมทاكริเลตให้ความแข็งแรงยึดติดกับเรซินชีเมนต์หรือเก็นฟันเรซินคอมโพสิตมากกว่าเดียร์อีพันที่มีเรซินเมทริกซ์เป็นชนิดอีพอกาซีเรซินอย่างมีนัยสำคัญ³⁴⁻³⁵ เนื่องจากพันธะคู่ระหว่างคาร์บอนชนิดอะลิฟาติกที่พบบนพื้นผิวเดียร์อีพันสามารถเกิดปฏิกิริยา กับไซเลน³⁶ เช่น ไซเลนชนิดทรี-เอ็มพีเอส (3-methacryloxy-propyltrimethoxysilane) ซึ่งมีหมู่ออร์แกโนฟังก์ชันเป็นหมู่เมทاكริเลต สามารถเกิดพันธะโค瓦เลนต์ (covalent) กับเมทاكริเลตเรซินได้³⁷ อย่างไรก็ตามพันธะคู่ระหว่างคาร์บอนชนิดอะลิฟาติกที่พื้นผิวของเดียร์อีพันเอฟอาร์ซีโพลีเทคพลัสอาจมีปริมาณหลงเหลืออยู่น้อย ทำให้บางการศึกษาพบว่าค่าการยึดกับเรซินชีเมนต์ของเดียร์อีพันที่ไม่ผ่านการปรับสภาพพื้นผิวน้อยกว่าการปรับสภาพพื้นผิวเดียร์อีพันด้วยการเป่าทราย¹² หรือกัดพื้นผิวของเดียร์อีพันด้วยสารเคมี¹³

นอกจากนี้พันธะคู่ระหว่างคาร์บอนชนิดอะลิฟาติกที่พบ
อาจมาจากหมู่ฟังก์ชันอินทรีย์ (organic functional group)
ของไซเลนที่เคลือบเส้นใยก่อนยึดกับเรซิโนเมทريคซันดได-
เมทัคิริเลตซึ่งจากการศึกษาด้วยกล้องจุลทรรศน์อิเล็กตรอน
แบบส่องกรดที่ผ่านมาจะพบการเผยแพร่องเส้นใยที่พื้นผิวของ
เดียวพันในบางตำแหน่ง¹²⁻¹³ หรืออาจมาจากไซเลนที่ผู้ผลิต
ใช้เคลือบพื้นผิวด้วยพันหลักการขึ้นรูปเดียวพัน (presilanate)
 เช่น เดียวพันยี่ห้อไฟบริเคลียร์เทเปอร์โพลิสท์ ซึ่งไซเลนที่เข้า
กับสารประเททเมทัคิริเลตเป็นชนิดทรี-เอ็มพีเอกซ์ซึ่งมีหมู่
ฟังก์ชันเป็นหมู่เมทัคิริเลต³⁶ ซึ่งจะให้ลักษณะสเปกตรัม
อินฟราเรดเช่นเดียวกับหมู่เมทัคิริเลตในเรซิโนเมทريคซ์

เดียวพันธุ์ไลโค็กซ์ไฟเบอร์โพลิสท์และดีทีไลท์โพลิสท์ตรวจไม่พบพนังกระหงห่วงคาร์บอนชนิดอะลิฟาติกแต่พบແບບสเปกตรัมที่แสดงถึงวงแหวนออกซิเจน ลดคลอลงกับส่วนประกอบของเดียวพันธุ์สองชนิดซึ่งมีเรซินเมทริกซ์เป็นอีพอกซิเรชิน เกิดปฏิกิริยาด้วยการเปิดวงออกซิเจนเป็นปฏิกิริยาพอลิเมอร์แบบแคทไอโอนิกไม่ใช่จากอนุมูลอิสระ³⁸⁻³⁹ และใช้เลนที่ใช้สำหรับอีพอกซิเรชิน เช่น ทรีไกลซิตอกซิ-โพร์พิลไดรามาทอกซิไซเลน (3-glycidoxypropyltrimethoxysilane) ซึ่งไม่พบพนังกระหงห่วงคาร์บอนชนิดอะลิฟาติกอยู่ในโครงสร้างไม่เกลล์³⁶



รูปที่ 4 スペクトرومบริเวณพันธุ์คู่ระหว่างคาร์บอนชนิดอะลิฟาติกบนพื้นผิวเดียวยังพื้นเสื่อมเด่นไปแต่ละยี่ห้อ

Fig. 4 Spectrum of aliphatic C=C areas on surface of each fiber post

เดียวยังทั้ง 4 ยี่ห้อพบหมู่ไซลิคลีเทอร์ หมู่ไซลอกเซน หมู่ไซลานอล หมู่ไออกซิล เพราะเดียวยังทั้งสี่ชนิดมีส่วนของเส้นใยเป็นสันไยแก้วและเส้นไยคาดหัวซึ่งมีซิลิกาเป็นส่วนประกอบในเส้นไย นอกจากนี้เส้นไยมักเคลือบด้วยไซเลนก่อนยึดกับเรซินเมทริกซ์ และจากการศึกษาด้วยกล้องอิเล็กตรอนแบบส่องการดูของเดียวยังพื้นเสื่อมเด่นโดยตามแนวยาวก่อนการปรับสภาพพื้นผิวของเดียวยังพื้นพบเส้นไยตลอดความยาวเดียวยังพื้นแม้จะมีเรซินเมทริกซ์ปักกลุมอยู่บ้าง^{12,35,40} จึงสอดคล้องกับบางการศึกษาที่พบว่าการทำไซเลนที่เดียวยัง เมทาคริเลตและเดียวยังพื้นอีพอกซีแล้วให้ความแข็งแรงยึดติดมากกว่าการไม่ทำไซเลน^{10,12,18,41} และมากกว่าการปรับสภาพพื้นผิวเดียวยังพื้นด้วยไฮดรเจนเปอร์ออกไซด์ความเข้มข้นร้อยละ 24 นาน 10 นาที ในขณะที่บางการศึกษาพบว่าการทำไซเลนที่เดียวยังพื้นไม่ช่วยเพิ่มความแข็งแรงการยึดติดของเดียวยัง^{10,15,16,20,34,42}

นอกจากนี้ยังพบหมู่เอมีนที่พื้นผิวเดียวยังพื้นทุกยี่ห้อยกเว้นเดียวยังพื้นยี่ห้อไฟบริเคลียร์เทเบอร์วิสท์สำหรับหมู่เอมีนที่ตรวจพบบนเดียวยังพื้นเอกฟอร์ซโพสเทคพลัส เพราะเดียวย

ชนิดนี้มีเรซินเมทริกซ์เป็นยูรีเทนไดเมทาคริเลตซึ่งมีหมู่เอมีนเป็นส่วนประกอบ ล่วงการพับหมู่เอมีนในเดียวยังพื้นรีลีเอ็กซ์ไฟเบอร์วิสท์และดีทีไลท์วิสท์อาจเนื่องจากสารที่ทำให้หมู่อีพอกไซด์ในเรซินเมทริกซ์แข็งตัวเป็นสารกลุ่มเอมีน หรืออนุพันธุ์ของเอมีน⁴³

ข้อจำกัดของการศึกษานี้คือเป็นการศึกษาหาพันธุ์คู่ระหว่างคาร์บอนชนิดอะลิฟาติกในเชิงคุณภาพที่บริเวณพื้นผิวของเดียวยังที่เป็นบริเวณสำคัญต่อการยึดติดกับสารเรซินซีเมนต์หรือแกนพันเรซินคอมโพสิต ไม่ใช่การศึกษาในเชิงปริมาณและขั้นตอนการศึกษามีข้อควรระวังคือ ความชื้น ส่งผลให้การแปลงวิเคราะห์ผลคลาดเคลื่อนได้ เนื่องจากสารประกอบน้ำจะแสดงแบบการส่งผ่านรังสีอินฟราเรดใกล้บริเวณที่มีແบกการส่งผ่านรังสีอินฟราเรดของพันธุ์คู่ระหว่างคาร์บอนชนิดอะลิฟาติกได้ จึงควรวิเคราะห์แบบสเปกตรัมด้วยความระมัดระวัง ซึ่งการศึกษานี้กำหนดให้นำเดียวยังออกจากหีบห่อที่บริษัทผู้ผลิตจัดเตรียมไว้ด้วยปากคีบ ดังนั้น หากเป็นการศึกษาในเชิงปริมาณอาจจำเป็นเดียวยังพื้นทุกแท่งเข้าตู้อบเพื่อกำจัดความชื้นออกก่อน การศึกษานี้เป็นการศึกษาที่อาจใช้ใน

ตารางที่ 2 เลขค่าลี่นของพันธะที่ตรวจพบบนแฉบสเปกตัมของเดือยฟันแต่ละชนิด

Table 2 Wavenumber of investigated bond/group on IR spectrum of each fiber post

Bond/Group	Reference²⁵ wavenumber (cm⁻¹)	Wavenumber (cm⁻¹) of fiber post			
		RelyXTM Fiber Post	D.T. Light Post[®]	FRC Postec Plus[®] Post	FibreKleer[®] Tapered Post
Si-O-R	1110-1000	1107-1102	~1106	-	-
Si-O-Si	1090-1010	1013-1011	1016-1011	~1011	1067-1040
Si-OH	1040-1020	1039-1035	1039-1035	1042-1038	-
aliphatic C=C	1640-1630	-	-	1638-1636	1637-1632
NH (amine)	1650-1490	~1541	~1541	~1541	-
epoxide ring	3075-3030	~3059	~3059	-	-
	880-775	806-802	808-805		
Si-OH	3700-3200				
OH	3550-3230	3450-3411	3455-3428	3498-3444	3482-3334
NH	3500-3300				

Si-O-R: silyl ether, Si-O-Si: siloxane, Si-OH: silanol, OH: hydroxyl, NH: amine

การวิเคราะห์เหตุและผลของค่าการยึดติดของเดือยฟันเสริมเส้นใย และเป็นพื้นฐานในการเลือกใช้เดือยฟันแต่ละยี่ห้อที่มีส่วนประกอบพื้นฐานที่แตกต่างกัน

กิตติกรรมประกาศ

ขอขอบคุณทุนโครงการวิจัยทางทันตกรรมสำหรับนิสิตชั้นปีที่ 5 คณะทันตแพทยศาสตร์ จุฬาลงกรณ์มหาวิทยาลัย หมายเลขอ 29/2013

สรุป

การศึกษาพื้นผิวของเดือยฟันคอมโพสิตเสริมเส้นใยที่มีขายในประเทศไทย 4 ยี่ห้อ ด้วยวิธีสเปกต์เรซโคลป์แบบไมโครเอนท์อาร์-ເຄฟท์ไอօอาร์ พบร่วมเดือยฟันยี่ห้อเอฟอาร์ซีเพสเทค พลัสและไฟบริเคลียร์ทีเพอร์ฟิลส์ พบรับพันธะคู่ระหว่างคาร์บอนชีนิคอะลิฟาติกบันพื้นผิวของเดือยฟัน ในขณะที่เดือยฟันยี่ห้อเอฟอาลีເອັກຊີໄຟເບອຣິພຶສທ໌ແລະດີທີໄລທີພຶສທ໌ ໄນພບพันธะคู่ระหว่างคาร์บอนชีนิคอะลิฟາติก

Reference

1. Asmussen E, Peutzfeldt A, Sahafi A. Finite element analysis of stresses in endodontically treated, dowel-restored teeth. *J Prosthet Dent.* 2005;94:321-9.
2. Hayashi M, Takahashi Y, Imazato S, Ebisu S. Fracture resistance of pulpless teeth restored with post-cores and crowns. *Dent Mater.* 2006;22:477-85.

3. Newman MP, Yaman P, Dennison J, Rafter M, Billy E. Fracture resistance of endodontically treated teeth restored with composite posts. *J Prosthet Dent.* 2003;89:360-7.
4. Aksornmuang J, Foxton RM, Nakajima M, Tagami J. Microtensile bond strength of a dual-cure resin core material to glass and quartz fibre posts. *J Dent.* 2004;32:443-50.
5. Naumann M, Blankenstein F, Dietrich T. Survival of glass fibre reinforced composite post restorations after 2 years. An observational clinical study. *J Dent.* 2005;33:305-12.
6. Ferrari M, Cagidiaco MC, Goracci C, Vichi A, Mason PN, Radovic I, Tay F. Long-term retrospective study of the clinical performance of fiber posts. *Am J Dent.* 2007;20:287-91.
7. Radovic I, Mazzitelli C, Chieffi N, Ferrari M. Evaluation of the adhesion of fiber posts cemented using different adhesive approaches. *Eur J Oral Sci.* 2008;116:557-63.
8. Ferrari M, Goracci C, Sadek FT, Monticelli F, Tay FR. An investigation of the interfacial strengths of methacrylate resin-based glass fiber post-core buildups. *J Adhes Dent.* 2006;8:239-45.
9. Mannocci F, Sherriff M, Watson TF, Vallittu PK. Penetration of bonding resins into fibre-reinforced composite posts: a confocal microscopic study. *Int Endod J.* 2005;38:46-51.
10. Goracci C, Raffaelli O, Monticelli F, Balleri B, Bertelli E, Ferrari M. The adhesion between prefabricated FRC posts and composite resin cores: microtensile bond strength with and without post-silanization. *Dent Mater.* 2005;21:437-44.
11. Bitter K, Meyer-Luckel H, Priehn K, Martus P, Kielbassa AM. Bond strengths of resin cements to fiber-reinforced composite posts. *Am J Dent.* 2006;19:138-42.
12. Magni E, Mazzitelli C, Papacchini F, Radovic I, Goracci C, Coniglio I, Ferrari M. Adhesion between fiber posts and resin luting agents: a microtensile bond strength test and an SEM investigation following different treatments of the post surface. *J Adhes Dent.* 2007;9:195-202.
13. Güler AU, Kurt M, Duran I, Uludamar A, Inan O. Effects of different acids and etching times on the bond strength of glass fiber-reinforced composite root canal posts to composite core material. *Quintessence Int.* 2012;43:e1-8.
14. Cekic-Nagas I, Sukuroglu E, Canay S. Does the surface treatment affect the bond strength of various fibre-post systems to resin-core materials? *J Dent.* 2011;39:171-9.
15. Monticelli F, Toledano M, Tay FR, Cury AH, Goracci C, Ferrari M. Post-surface conditioning improves interfacial adhesion in post/core restorations. *Dent Mater.* 2006;22:602-9.
16. Cheleux N, Sharrock P, Degrange M. Surface treatments on quartz fiber post: influence on adhesion and flexural properties. *Am J Dent.* 2007;20:375-9.
17. Shori D, Pandey S, Kubde R, Rathod Y, Atara R, Rathi S. To evaluate and compare the effect of different post surface treatments on the tensile bond strength between fiber posts and composite resin. *J Int Oral Health.* 2013;5:27-32.
18. Bitter K, Noetzel J, Neumann K, Kielbassa AM. Effect of silanization on bond strengths of fiber posts to various resin cements. *Quintessence int.* 2007;38:121-8.
19. Akgungor G, Akkayan B. Influence of dentin bonding agents and polymerization modes on the bond strength between translucent fiber posts and three dentin regions within a post space. *J Prosthet Dent.* 2006;95:368-78.

20. Moraes LG, Rocha RS, Menegazzo LM, de Araujo EB, Yukimoto K, Moraes JC. Infrared spectroscopy: a tool for determination of the degree of conversion in dental composites. *J appl oral sci.* 2008;16:145–9.
21. Miyazaki M, Onose H, Iida N, Kazama H. Determination of residual double bonds in resin–dentin interface by Raman spectroscopy. *Dent Mater.* 2003;19:245–51.
22. Adapa P, Karunakaran C, Tabil L, Schoenau G. Potential Applications of Infrared and Raman Spectromicroscopy for Agricultural Biomass. *Agricultural Engineering International: the CIGR Ejournal.* Manuscript 1081. Vol. XI. 2009.
23. Amornsit M. Principles and techniques of instrumental analysis spectroscopy. Bangkok: chuenpim 50, 2009:183–7.
24. Korte EH, Roseler A. Foundations and features of infrared reflection techniques. In: Schrader B, editor. *Infrared and raman spectroscopy: methods and applications.* Weinheim: VCH. 1995:572–602.
25. Wendl B, Droschl H, Kern W. A comparative study of polymerization lamps to determine the degree of cure of composites using infrared spectroscopy. *Eur J orthod.* 2004;26:545–51.
26. Kazarian SG, Chan KLA. Micro-and macro-attenuated total reflection fourier transform infrared spectroscopic imaging. *Appl Spectrosc.* 2010;64:135A–52A.
27. Socrates G. Infrared and raman characteristic group frequencies: Tables and charts 3rd ed. West Sussex: John Wiley & Sons, 2001:115–56.
28. Faria e Silva AL, Arias VG, Soares LE, Martin AA, Martins LR. Influence of fiber–post translucency on the degree of conversion of a dual–cured resin cement. *J Endod.* 2007;33:303–5.
29. Du M, Zheng Y. Degree of conversion and mechanical properties studies of UDMA based materials for producing dental posts. *Polymer Composites.* 2008;29:623–30.
30. Monticelli F, Osorio R, Toledano M, Goracci C, Tay FR, Ferrari M. Improving the quality of the quartz fiber postcore bond using sodium ethoxide etching and combined silane/adhesive coupling. *J Endod.* 2006;32:447–51.
31. Kumbuloglu O, Lassila LV, User A, Vallittu PK. A study of the physical and chemical properties of four resin composite luting cements. *Int J Prosthodont.* 2004;17:357–63.
32. Yavirach P, Chaijareenont P, Boonyawan D, Pattamapun K, Tunma S, Takahashi H, Arksornnukit M. Effects of plasma treatment on the shear bond strength between fiber–reinforced composite posts and resin composite for core build–up. *Dent Mater J.* 2009;28:686–92.
33. Rödig T, Nusime AK, Konietzschke F, Attin T. Effects of different luting agents on bond strengths of fiber–reinforced composite posts to root canal dentin. *J Adhes Dent.* 2010;12:197–205.
34. Radovic I, Monticelli F, Goracci C, Cury AH, Coniglio I, Vulicevic ZR, Garcia-Godoy F, Ferrari M. The effect of sandblasting on adhesion of a dual–cured resin composite to methacrylic fiber posts: microtensile bond strength and SEM evaluation. *J Dent.* 2007;35:496–502.
35. Kim HD, Lee JH, Ahn KM, Kim HS, Cha HS. Effect of silane activation on shear bond strength of fiber–reinforced composite post to resin cement. *J Adv Prosthodont.* 2013;5:104–9.
36. Pape PG. Adhesion Promoters. In: Ebnesajjad S, editor. *Handbook of adhesives and surface preparation: Technology, applications and manufacturing.* Amsterdam: William Andrew/ Elsevier, 2011:369–84.

37. Hooshmand T, van Noort R, Keshvad A. Bond durability of the resin-bonded and silane treated ceramic surface. *Dent Mater.* 2002;18:179–88.
38. Anusavice K. Resin-based composites In: Anusavice KJ, Shen C, Phillips RW, editors. *Phillips' science of dental materials.* 12th ed. St. Louis: Elsevier/Saunders, 2013: 275–306.
39. Rueggeberg FA. From vulcanite to vinyl, a history of resins in restorative dentistry. *J Prosthet Dent.* 2002;87:364–79.
40. Arunpraditkul S, Boonsiri I, Yungyuen K, Boonumnuay K, Teekavanich C. Effect of surface treatments on surface morphology of quartz fiber post by chemical agents. *CU Dent J.* 2011;34:1–8.
41. Leme AA, Pinho AL, de Gonçalves L, Correr-Sobrinho L, Sinhoreti MA. Effects of silane application on luting fiber posts using self-adhesive resin cement. *J Adhes Dent.* 2013;15:269–74.
42. Mosharraf R, BaghaeiYazdi N. Comparative evaluation of effects of different surface treatment methods on bond strength between fiber post and composite core. *J Adv Prosthodont.* 2012;4:103–8.
43. Boyle MA, Martin CJ, Neuner JD. Volume 21 composites: Epoxy Resins. *ASM Handbook,* 2001:78–89.

Determination of aliphatic C=C bonds on surfaces of FRC posts using microATR-FTIR spectroscopy

Siriporn Arunpraditkul D.D.S., M.Sc.¹

Sunita Tipmonta²

Sarapen Phubetarchavich²

¹Department of Prosthodontics, Faculty of Dentistry, Chulalongkorn University

²Undergraduate student, Faculty of Dentistry, Chulalongkorn University

Abstract

Objective The aim of the present study was to investigate aliphatic C=C bonds on surfaces of FRC posts by micro ATR-FTIR spectroscopy.

Materials and methods Fiber posts were determined aliphatic C=C bonds on post surface by micro ATR-FTIR spectroscopy using mid infrared ($4000\text{--}600\text{ cm}^{-1}$). The contact area between germanium crystal and fiber post was $100\text{ }\mu\text{m}$ in diameter circular shape. The spectrum was acquired at $1\text{ }\mu\text{m}$ depth from post surface. Wavenumbers and transmittance were recorded in each fiber post. The aliphatic C=C bonds were analyzed from peaks of spectra compared with reference wavenumbers.

Results The peak height of aliphatic C=C bonds at $1638\text{--}1636$ and $1637\text{--}1632\text{ cm}^{-1}$ were investigated on post surface of FRC Postec Plus[®] and FibreKleer[®] Tapered post which these were not shown on surface of DT Light post[®] and RelyXTM fiber post.

Conclusion Aliphatic C=C bonds were present on surfaces of FRC Postec Plus[®] and FibreKleer[®] Tapered post.

(CU Dent J. 2015;38:129–140)

Key words: aliphatic C=C bond; fiber post; micro ATR-FTIR; spectroscopy; surface

Correspondence to Siriporn Arunpraditkul, siriporr@hotmail.com